アジ化鉛の水中衝撃圧

生沼仙三*,田中一三*,椎野和夫*

前報試作の大型ホルダーにピエゾ索子を装着し、微小アジ化鉛ペレットの水中衝撃圧を測定した。そして粒子速度から求めた波頭圧力と比較検討した。

1. 緒 言

策者らは、最近、 尿路結石の 爆薬破砕に 関する研究 13,23,83,43 を行なっており、その一環として微小爆薬の示す 爆発 国家 波特性を検討することにした。この場合、空中 国家 波についてはすでに報告 30 したが、 水中 衝撃 波については、 波の持続時間が短いため、 常法の ビエゾ 素子で 測定してもノイズのために 正確な 値が 得られなかった。 そこで 前報 50 では、 そのノイズ 発生の 原因と防止について検討し、 ビエゾ 素子を大型 のホルダーに固定すればノイズの発生は少なくなることを知った。 本報はその方法で圧力 測定を行なったものである。

しかし、こうして得られる圧力は、前報で述べたように反射圧を示し、自由水中の圧力を示さないことが予想される。得られた圧力値が反射圧であるかどうかをたしかめるためには、ビエゾ測圧以外の方法による圧力測定値と比較することが選ましい。空中の場合にはか、衝撃被伝播速度から求めた圧力値によって検討したが、水中の場合は、衝撃被伝播速度はよほど圧力値が高くならないとほとんど変化しない。そこで今回は水の粒子速度による測定値と比較した。

2. ピエゾ茶子による圧力測定

2.1 使用爆塞

微小爆楽としては、アジ化鉛をペレット状にしたものを用いた。その製法はすでに報告"してあるので、 その概要を示す。

すなわち、アジ化鉛はアジ化ソーダと硝酸鉛から製造し、ボバールをバインダーとして使い、円板状に成形した。そして5%アラビヤゴム水溶液をごくわずか使って、発火用の白金ブリッジをその成形物2個ではさむようにして接着した。その最大菜量は82g、最小菜量は17gである。実験に際しては、その表面をm・p72Cのバラフィンで被覆し、防水した。

圧力餃正用の爆薬としては、日本油脂KK製の6号 電気雷管を用いた。

2.2 測定方法

圧力測定に用いたピエソ 案子は、キスラー社製の607A型であり、これは前級。で試作した大型ホルダー (Type F) に装着して用いた。その烹使用のチャージアンプは、同社製の、549A型高周波フィルター内臓の504E型である。デジタルメモリーは、岩通電子KK製のDM-703型であり、オシロスコープは、同社製のSS-4511型である。

圧力測定に際し、アジ化鉛ペレットは、その平らな 面を、電気雷管はその底部をピエゾ面に向けて置い た。

2.3 圧力測定

水中圧力波形を、オシロスコープで記録した一例を Fig. 1 に示す。図において、10~14μ sec を周期とする振動は、前報でも述べたようにピエソ案子の固有振動で生じたものと考えられる。その波形の様子は、このノイズをどう処理するかによってだいが違ってくるが、最初の山のピークと、以下の各山の中点を結ぶような波形であるとすると、一般の水中図撃波の圧力波

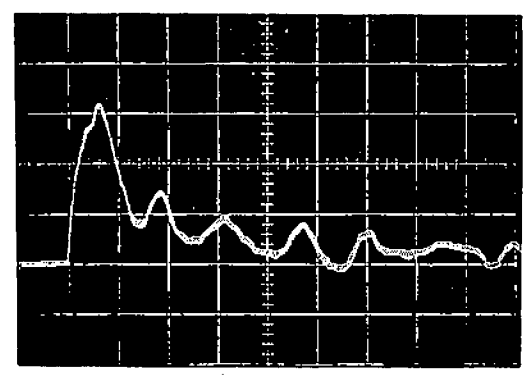


Fig. 1 Example of shock wave profile.

Pb (N₃)₂: 620mg d: 20cm

seale : $40 \text{kg/cm}^2/\text{div.}$, $10 \mu \text{ sec/div.}$

昭和54年4月6日交通

*双京工量战险济 〒254 平以市西八橋1-3-4

形と同様、 $P(t) = P_m e^{it\theta}$ 式で表わされる波形となる。 ここに P_m は測定で得られた波頭圧力、 θ は時定数、 t は時間である。このようにして Fig. 1 の圧力波形 から時定数を求めると、薬量 $600 \, \text{mg}$ 程度のアジ化鉛 の時定数は $14 \sim 15 \, \mu \, \text{sec}$ となる。

一般に水中衝撃波の自由水中における(反射のない 状態)波頭圧力 Pa は、楽量 W と距離 d との間に、

$$P_s = K \left(\frac{\sqrt[p]{W}}{d} \right)^n \tag{1}$$

の形の実験式が適用され、 TNT、 ペンスリット等の 高性能爆薬については、 *Ps、W*, d の単位を kg/cm², kg, m にとったとき、

$$P_s = 520 \left(\frac{\sqrt[3]{W}}{d} \right)^{1.13} \tag{2}$$

が知られている 10 。 ここで測定したアジ化鉛について も同様な実験式にあてはめるため、 P_{m} と($W^{1/3}/d$) の両対数グラフにブロットしてみると、Fig. 2 が得ら

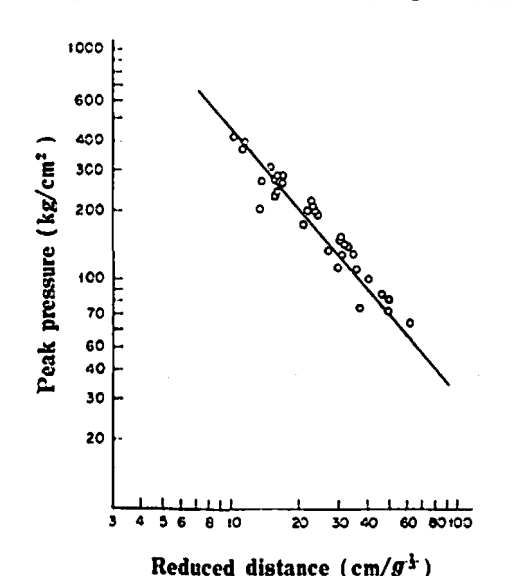


Fig. 2 Peak pressure vs. scaled disance.

れた。図中の直線は、
最小2
駅法による直線近似で求めたものであるが、(1)式にあてはめてみると、

$$P_{\infty} = 451 \left(\frac{\sqrt[3]{W}}{d} \right)^{1.16} \tag{3}$$

が得られた。

こうして得られた測定他 Pm が、自由水中での Pa とどのような関係にあるかを知るため、本文ではビエソ測圧と別に、水の粒子速度の測定を行なって、それから換算される圧力値と比較した。この比較には電気雷管を供試爆薬としたので、電気雷管についても、上と同じ方法でビエソ測圧を行なった。その結果は、次節に粒子速度の測定からの圧力値と比較して述べる。

8. 水の粒子速度による圧力認定

3.1 粒子速度の測定法

粒子速度は、普通、自由面速度から求められる。このような測定例には、爆薬の真上の水面上に極板を設置し、極板と水面間の節電容量の変化から粒子速度を求める方法がなどがある。母者らはピンコンタクト法でそれを求めることにした。子倫実験では、薄いスズはくを水面に置き、爆発でそれが飛び出す速度を測定してみた。しかし再現性のある値が得られなかったので、スズはくをとり除き、水面の直接接触でも十分検出できるような回路を用いて測定した。

測定ピンには、組針7号(長さ40.9mm, 太さ0.56 mm)を用いた。これらのピンは Fig. 3 のようにメタアクリル板に固定した。そのピン長の整(€)は、精度±0.0025mm のマイクロテスターで求めた。

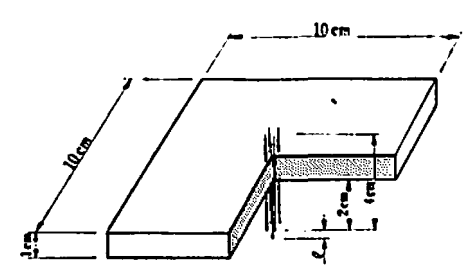


Fig. 8 Installation Pins.

Fig. 4 に、粒子速度の測定配置図を示した。 水棺 (90×90×90cm)は風などで水面が変化しないように 室内に設置した。使用爆薬は6 等電気雷管であり、こ

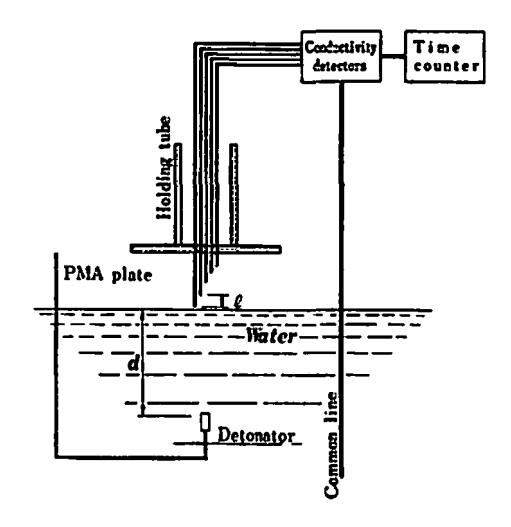


Fig. 4 Schematic diagram of the instrument for measurement of particle velocity.

れは所定距離 d の水中に管体の底が上を向くように置いた。 測定ピンは、その真上の水面上に置いたが、最

も長いピンの先端は水面上 0.1mm 以内にあるように し、これへの水の接触信号をトリガーに用いた。

各ピンに、Fig. 5 の回路をピンの数だけ接続した。 この回路は、水中爆発のガス球の検出に用いるもの⁹ と同じである。図は入力側の端子の間を短絡すると、

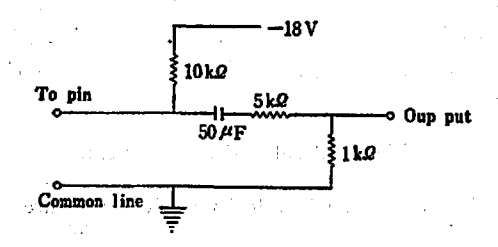


Fig. 5 Electric circuit of water contact detector.

出力側にはプラス電圧を発生する。図の Rは 10k Qの高抵抗を用いるので、入力側の接触抵抗がかなり大きくても十分な出力電圧がある。測定時には、回路のアース側に長い銅線をつなぎ、共通ラインとして水中に垂らした。回路の 出力値等の 再現性を たしかめたあと、実際の測定に当っては、Fig. 5 の出力電圧をタイムカウンターに入れ、最も水面に返いピンから他の各ピンまでの所要時間を測定し、ピン長の差(の) から速度を計算した。使用したカウンターは、東工試製の最大9999 μ sec、最小 0.1 μ sec まで測定できる 6 チャンネルのものである。

3.2 粒子速度の測定結果

Fig. 5 の回路の出力波形をオシロスコープで観測すると Fg. 6 のようになった。図は 0.479mm 離れた 2 本のピンによる出力信等の立上り部分を 2 現象記録としたものである。 掃引速度は 20µ sec/div. であるが、

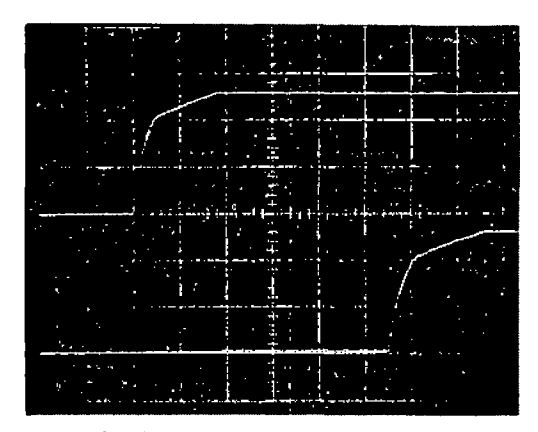
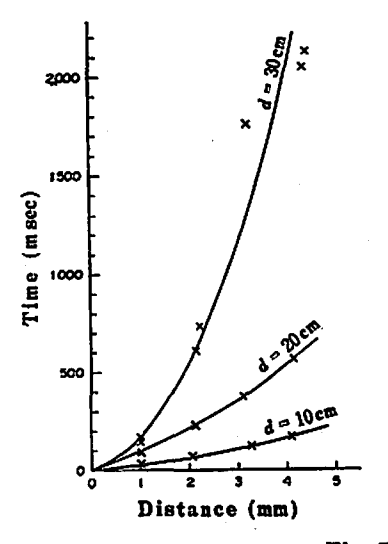


Fig. 6 An example of oscilogram. Sweep velocity: 20 μ se/div.

水が接触したときの立上りはかなり早く, ピンの距離 によってほとんど差のないことがわかる。したがって この出力波形をタイムカウンターに入れたときの誤差 は、たかだか 10μ sec 以下と思われた。

水の速度は、水面から離れるにしたがって波衰するおそれがある。ここで必要なのは初速度であるから、それを正しく求めるには、減衰のはじまる距離を知っておく必要がある。Fig.7は留管から水面までの距離 dをいろいろ変えて、ピンの高さと水の到達時間の関係をブロットした結果である。図からわかるように、dが小さくて衝撃波が強い場合は、水面から比較的長い距離を水は等速で助いているが、dが大きくなるにしたがって等速で動く距離は短かくなっている。この水面に近い等速の領域で、水の速度を求めることにした。

Fig. 7 の右は、ピンを水面から 1mm 以内に配置したときの確定結果である。ここで d が 10cm と 15cm



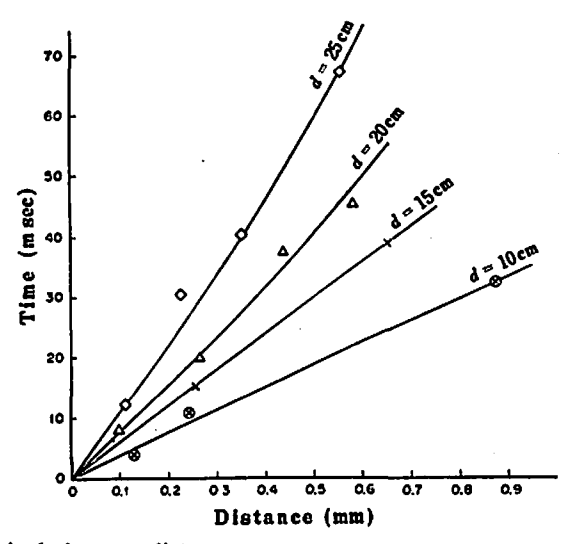


Fig. 7 Arrival time vs. distance.

の場合は距離 $0.7\sim1$ mm まで、d が 20cm および 25cm の場合は距離 0.25mm および 0.2mm まで直線関係があるとしてその速度を求めた。Fig. 8 にそれを示す。

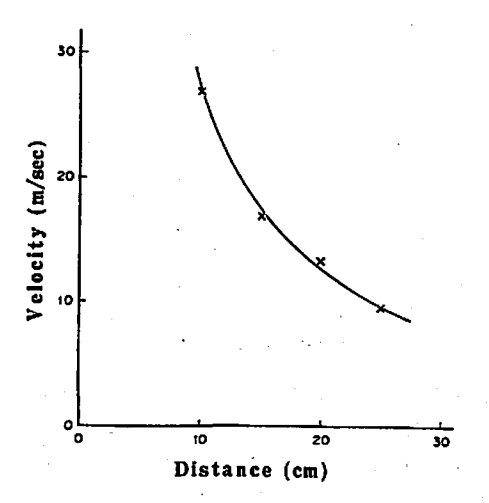


Fig. 8 Particle velocity vs. distance.

固体や液体中を伝播した衝撃波が自由水中で反射するとき、自由面の動く速度は本来の粒子速度の2倍となることはよく知られている。この実験でも当初は測定値が自由面速度となることを予想して行なったが、実際に得られた数値は、粒子速度そのものとした方が妥当であることがわかった。

この測定で、自由面速度が検出されない理由は、次のように考えられる。衝撃波が自由面に達したとき、媒体の速度が2倍になるのは、自由面で発生した引張波のためである。しかし水の場合は引張波が生ずると、水は引きちぎられて飛沫となってしまう。この現象は、実際に水中爆発の水面の観察からも知ることができる。この飛沫の速度を測ることができれば、それは自由面速度を持っているであろう。しかし Fig. 5 の回路では、ピンと水棺全体の水との間の導通を検出する形になっているので、水面から離れた飛沫がピンに接触しても導通を生じないはずである。

飛沫の発生は阿撃波に水面に達して生じた引張波の 残存吸力がゼロになるまで続くが、この測定ではピン が水面近くにあるため、その途中で水の粒子速度が得 られることになる。

3.3 粒子速度から圧力の算出

上記粒子速度に対応する波頭圧力は、次のようにして求めた。

衝撃波速度を U_s 、粒子速度を U_s とし、水の密度を ρ とすると、これらと波頭圧力 P_s との間には、 $P=\rho U_s \rho U_s$ の関係が存在する。したがって波頭圧力は、 ρ , U_s U_s をそれぞれ測定すれば求められるが、

 U_s と U_s の間には C を音速として、 $U_s = C + KU_s$ の関係があることが知られている。水の場合、K はほとんど 2.0 になる n 。 これを上式に代入すると下式が得られる。

$$P = \rho(C + 2.0U_p)U_p \tag{4}$$

したがって、波頭圧力は粒子速度から求められる。

Table 1 は、このようにして波頭圧力を求めたものである。この圧力値は、反射のない自由水中での P_a に相当する。

Table. 1 Results of measurement.

Distance (cm)	Particle velocity (m/sec)	Peak Pressure (kg/cm)
10	26.8	406
15	16.9	253
20	13.3	198
25	9.5	141

3.4 ピエゾ翔定圧力値の検討

電気雷管の 爆発で 生じた 水中 質摩波について, ピエゾ圧力圧力測定装置 と 粒子速度から 得た 圧力値を Fig. 9 に示した。 直線 (b) は雷管から距離 d の点での直接的な 測圧のピーク値, (a) は水面から深さ d

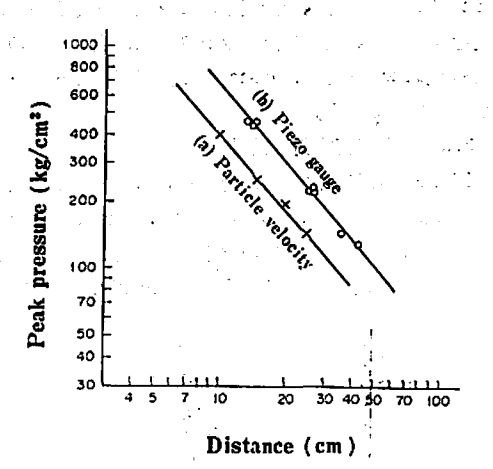


Fig. 9 Peak pressure vs. distance.

で爆発させたときの水面の粒子速度から、前述の計算で求めたものである。これらの直線は、圧力 P, 距離 d の単位を kg/cm², dm, にとったとき下式で表わされる。

ピエゾ圧力測定装置によるもの

$$P_m = 670 \left(\frac{1}{d}\right)^{1.15} \tag{5}$$

粒子速度によるもの

$$P_{s} = 406 \left(\frac{1}{d}\right)^{1.12} \tag{6}$$

$$P_{m} = 874 \left(\frac{\sqrt[3]{W}}{d} \right)^{1.15} \tag{7}$$

$$P_{s} = 527 \left(\frac{\sqrt[3]{W}}{d} \right)^{1.18} \tag{8}$$

となり、(8)式は高性能爆薬についての水中質勢波圧の 実験式ⁿ (2)式と一致する。このことは、粒子速度から 求めた圧力値 Poが、いわゆる質撃波の静圧を表わし ており、ビエソ測定の Poは、それより高い反射圧を 示していると考えられる。

(7)式と(8)式では、($\sqrt[4]{W}/d$)* の指数にわずかの違いがあるが、 $d/\sqrt[4]{W}=1m/kg^{1/2}$ (Fig. 9 の微蚀の単位では $10cm/g^{1/2}$) の付近にあるデータについてはこの強は問題にならない。そこで簡単のためにnの差を無視して計算すると、 $P_m/P_s=1.65$ が得られる。入射圧と反射圧の比が、水とピエゾ受圧面(ステンレス)のインピーダンスからきまるとすると、数値的にはこの比は 1.9になるはずである。上の値はこれよりやや小さいが、ピエゾ測圧でのピーク値 P_m は、おそらく反射圧とみなすのが妥当であろう。

4. 結果と考察

前節の電気器管について得た $P_{\rm m}/P_{\rm s}$ の関係は、若干の誤差を含むにせよ、同様な条件で測定した他の爆薬にも同じと考えられる。アジ化鉛のビエソ測圧による実験式(3)にこの関係を用いて、自由水中での波頭圧力 $P_{\rm s}$ に換算すると、

$$P_s = 273 \left(\frac{\sqrt[3]{W}}{d}\right)^{1.16} \tag{9}$$

が得られた。ここに P_s , W, d の単位は kg/cm², kg, mである。

上式の 273 という数値は、 2 度の測定を極たものであまり精度のよいものではないかもしれない。 P_m を求める際の Fig. 2 のばらつき、そして P_m/Ps を求めた Fig. 7 および Fig. 9 のばらつきが問題になる。この点を爆発衝撃波のスケール法則から考察すると、次のようになった。

アジ化鉛の烟風圧の報告"で述べたように、現象が 爆発エネルギー E に依存する スケール法則を満足す るとすれば、烟薬の種類が異なるときの(1)式は、薬量 W をエネルギー E で置き換えたものになる。したが って爆薬の単位薬量 あたりの エネルギーを Q とする と,

$$P_s = K \left(\frac{\sqrt[3]{qW}}{d} \right)^m \tag{6}$$

としたときの K は、nが同一である限りスケール法則を満足するすべての爆薬について一定値となるであろう。 実際には n の値は前節の 測定値がそうであったように若干の差異がある。これは爆薬の種類による 差というより、現在の段階では精度による部分が大きい。

ここで簡単のために、n の差を無視してすべて1.13 としてみる。高性能爆薬とアジ化鉛の、単位薬量あたりのエネルギーをそれぞれ q_X および q_A とし、(2)式 と(9)式が どちらも 同じく (0)式から生じた ものとすると、 $q_A/q_X=(273/520)^{8/1.18}$ =1/5 と ならねばならない。

q の値に爆発熱を用いると、前の報告で述べたように、高性能爆凝の値は 1200~1500kcal/g であり、それに対してアジ化鉛は、酸素のない状態での測定値は 380cal/g であった。後者は前者の 1/3~1/4 であり、ここに得られた 1/5 というのはやや小さい。

この遊は測定誤差の簡囲内にあるといえる。つまり 圧力が10%異なると、この計算では(3/1.13)乗され るので約25%の違いとなるように、圧力のわずかな違 いがエネルギー換算では大きくなる。逆にアジ化鉛の エネルギーを高性値爆薬の1/4を仮定して(2)式をもと にしてアジ化鉛の P. を求めると(9)式の係数が308に なる。 実系に得られた273 は、これより10%ほど小さ いのに過ぎない。 最初の Fig. 2 の測定値のばらつき をみて、このていどの誤遊はあり得ると考えられる。

5. 結 含

以上のように本研究においては、まず前報試作の大型ホルダーにピング案子を製着し、微小のアジ化鉛ベレットの水中衝撃波を 副定した。 得られた 圧力波形は、 $P(t)=P_me^{t/0}$ で汲わされる波形であり、その波 頭圧力 P_m と換算距離 $\sqrt[4]{W}/d$ の間には下式の関係があることがわかった。

$$P_{m} = 451 \left(\frac{\sqrt[3]{W}}{d} \right)^{1.16}$$

ここに Pm, W, d の単位は kg/cm³, kg, m である。 次に6等電気雷管を用いて、ピンコンタクト法を応 用した粒子速度の測定を行ない、ピエソ圧力測定装置 で得られる波頭圧力と比較検討した。その結果、ピエ ソ圧力測定装置と、粒子速度からの圧力値についてそ れぞれ下記の関係式が得られた。

ピエゾによるもの

$$P_m = 670 \left(\frac{1}{d}\right)^{1.15}$$

粒子速度によるもの

$$P_4 = 406 \left(\frac{1}{d}\right)^{1.18}$$

ここに P_m または P_s, d の単位は kg/cm², dm である。このようにピエソ圧力測定装置から得られる波頭 圧力は, 粒子速度から求まる波頭圧力より1.65倍高い 圧力値を示した。これはピエソ圧力測定装置の方がそれだけ 高い圧力を 感知している ことを 示すものであり, そのような圧力は, ピエソ圧力測定装置の受圧面における反射圧であることが推測された。

以上のことから、上記アジ化鉛ペレットの圧力式を自由水中の波頭圧力を示す式になおし、下式を得た。

$$P_s = 273 \left(\frac{\sqrt[3]{W}}{d} \right)^{1.18}$$

ここに P., W. d の単位は kg/cm³, kg, m である。 一方、爆薬の爆発熱を基準として、フケール法則から上の形の実験式の係数を推定すると、上の値より10 %ほど大きくなるべきことを知った。これは測定精度 からみて実験誤差の範囲内にあると同時に、得られた 実験式もこの誤差を含むと思われる。 付配

粒子速度の測定に際しては、科学警察研究所の中村 原氏の協力を得た。ここに厚く感謝する。

文 献

- 1) 渡辺(決), 生招, 日泌尿会誌, 68, 243 (1977)
- 村田, 渡辺(決), 高橋, 渡辺(康), 古江, 生招,
 同誌, 68, 249 (1977)
- 3) 生稆, 東工誌報告, 73, 205 (1978)
- 4) 生招, 金子, 古江, 渡辺(決), 工築火菜, 89, 270 (1978)
- 5) 生招, 椎野, 田中(一), 工業火菜, 40, 23 (1979)
- 6) 生招, 田中(一), 椎野, 工浆火菜, 40, 370 (1979)
- R. H. Cole, "Underwater Explosion" Princeton University Press (1948)
- 8) 花崎, 伊藤, 工梁火薬, 35, 275 (1974)
- 9) 田中(一), 工菜火菜, 36, 11 (1975)

Underwater shock wave pressure from lead azide

by Senzo Oinuma*, Kazumi Tanaka* and Kazuo Siino*

In the present study, at first the underwater shock wave pressure traveling from a detonating small pellet of lead azide was measured by an instrument composed of a piezo gauge and a larger sized holder reported in the preceding report. It was found that there holds the following formula between the peak pressure P_m (kg/cm²) and the converted distance $\sqrt[3]{W}/d$ (kg¹/²/m).

$$P_m = 451 \left(\frac{\sqrt[3]{W}}{d} \right)^{1.16}$$

Then, using a No. 6 electric detonating cap, the particle velocity was measured by applying the pin contact method, and comparison and evaluation have been made for the peak pressure obtained by the pin contact method and that from the above formula.

Experimental pressure data by the piezo gauge and the particle velocity methods are as follows:

$$P_{\rm m} = 670 \left(\frac{1}{d}\right)^{1.15}$$
 (Piezo gauge method)

$$P_s = 406 \left(\frac{1}{d}\right)^{1.13}$$
 (particle velocity method)

where Pm, Ps are peak pressure kg/cm², d being distance dm.

As is clear from the adove, P_m is 1.65 times larger than P_n . This is probably due to the fact the piezo electric instrument yields higher pressure results than the particle velocity method does.

It is assumed that the surplus pressure may derive from the reflecting pressure at the outer face of the piezo instrument.

In considering the above results, the peak pressure from lead azide pellet under free water is given in terms of P_s by the following formula.

$$P_s = 273 \left(\frac{\sqrt[3]{W}}{d} \right)^{1.13}$$

where P: kg/cm², $\sqrt[3]{W}/d$: kg^{1/8}/m.

(*National Chemical Laboratory for Industry, MITI)

新刊紹介

デトネーション

W. Fickett and W. C. Davis,

"Detonation" Los Alamos Series in Basic and Applied Science, editted by D. H. Sharp and L. M. Simmons, Jr.

University of California Press, 1979

現在世界の最先端を歩む研究所の一つでさるロス アラモス科学研究所の基礎と応用科学シリーズの一 つとして出版された本である。 著者の Fickett は著 名な科学者である Wood, Kirkwood の流れをくむ 研究者で爆薬のデトネーシェン特性値を計算するた め Becker Kistiakowsky, Wilson の BKW 式お よび Lennard-Jones, Devonshire の LJD 式研究 や Zel'dovich, Neumann, Doering のいわゆる ZND モデルをより深めた反応帯を持つデトネーシ ョンの非定常伝播の理論的研究に多大な寄与をした 人である。一方 Davis は爆薬のデトネーシェン について 数多くの 精密実験を 行っている人で 特に Campbell らと行った 爆薬の衝撃起爆実験と古典デ トネーション理論の破綻と題して発表された逆伝法 によるニトロメタンと TNT のデトネーション特性 の測定は有名である。この本の内容の概略は本協会 40周年記念特集号の疋田と田中によって書かれたも

のとだいたい同じである。(工火は, 40, 195(1979)) 本書では起爆や中断現象については触れられていな いがこれらについては C. L. Mader が別の本で述べ ている。ここでは爆薬だけでなく気体のデトネーシ ュンについても古典論 (Chapmann-Jouget モデル) から最新の理論まで理解しやすく書かれている。特 に反応帯をもつ非定常デトネーシェンについては最 近の成果をまとめて掲載してあり解説と考察がつけ 加えてあるので専門の人はもちろん、初心者にとっ ても有益であろう。 最近の Bdzil, Nunzeato, Erpenbeck といったデトネーシェン波の構造と安定性 の理論、柘植、藤原らのデトネーシェン特性の二価 性の問題についても興味深く述べられている。デト ネーション研究は反応速度論、熱力学、流体力学の 基礎的な学問から成りたっているので、読者はこれ らについて大学の教養課程ぐらいの知識を要する。 主な項目は1880年から1950年までの定常、平面デト ネーションの理論、実験とこれらの理論の比較、反 応性流体力学式、1950年以降の各種の定常デトネー ションの解とその安定性となっていて、最後に理論 と実験から定常平面デトネーシェンは不安定なため 一般的には存在しないと結論している。

(田中克己)